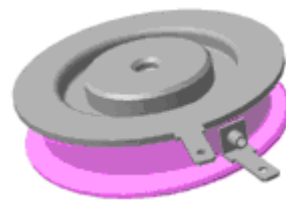




ТИРИСТОР НИЗКОЧАСТОТНЫЙ

T123-200

<ul style="list-style-type: none"> ◆ $V_{DRM}/V_{RRM} = 400 - 1600 \text{ В}$ ◆ $I_{T(AV)} = 240 \text{ А}$ ($T_C = 85^\circ\text{C}$) ◆ $I_{T(AV)} = 300 \text{ А}$ ($T_C = 70^\circ\text{C}$) ◆ $I_{TSM} = 4 \text{ кА}$ ($T_j = 125^\circ\text{C}$) <ul style="list-style-type: none"> ◆ внутреннее усиление сигнала управления ◆ минимальные потери в открытом состоянии ◆ пригодны для последовательного и параллельного соединения (малый разброс Q_{rr}, V_{TM}, I_{DRM}) 	
--	---

МАКСИМАЛЬНО ДОПУСТИМЫЕ ЗНАЧЕНИЯ ПАРАМЕТРОВ

Наименование параметра	Условное обозначение	Значения параметров			Единица измерения
		мин.	тип.	макс.	
Повторяющееся импульсное напряжение в закрытом состоянии / Повторяющееся импульсное обратное напряжение, $T_j = -60^\circ\text{C} \dots +125^\circ\text{C}$	V_{DRM} / V_{RRM}	400	-	1600	В
Неповторяющееся импульсное напряжение в закрытом состоянии / Неповторяющееся импульсное обратное напряжение, $T_j = -60^\circ\text{C} \dots +125^\circ\text{C}$	V_{DSM} / V_{RSM}	500	-	1700	
Повторяющийся импульсный ток в закрытом состоянии / Повторяющийся импульсный обратный ток, $T_j = 125^\circ\text{C}$, $V_D / V_R = V_{DRM} / V_{RRM}$	I_{DRM} / I_{RRM}	-	-	15	mA
Максимально допустимый средний ток в открытом состоянии, $f = 50 \text{ Гц}$, двустороннее охлаждение	$I_{T(AV)}$	-	-	240 300	А
$T_C = 85^\circ\text{C}$ $T_C = 70^\circ\text{C}$					
Действующий прямой ток, $f = 50 \text{ Гц}$, $T_C = 70^\circ\text{C}$	I_{TRMS}	-	-	470	
Ударный ток в открытом состоянии, $V_R = 0$, $T_j = 125^\circ\text{C}$, $t_p = 10 \text{ мс}$	I_{TSM}	-	-	4	кА
Защитный показатель	I^2t	-	-	80	кА ² с
Критическая скорость нарастания тока в открытом состоянии, $V = 0,67V_{DRM}$, $I_T = 400 \text{ А}$, $I_{FG} = 2 \text{ А}$, $t_r = 1 \text{ мкс}$, $f = 50 \text{ Гц}$, $T_j = 125^\circ\text{C}$	$(di_T/dt)_{crit}$	-	-	200	А/мкс
Критическая скорость нарастания напряжения в закрытом состоянии, $V_D = 0,67V_{DRM}$, $T_j = 125^\circ\text{C}$	$(dV_D/dt)_{crit}$	200	-	1600	В/мкс
Максимальная мощность управления, постоянный ток	P_{GM}	-	-	4	Вт
Температура перехода	T_j	-60	-	+125	$^\circ\text{C}$
Температура хранения	T_{stg}	-60	-	+50	



T123-200

ЭЛЕКТРИЧЕСКИЕ ХАРАКТЕРИСТИКИ

Импульсное напряжение в открытом состоянии, $I_T = 628 \text{ A}$, $T_j = 25^\circ\text{C}$	V_{TM}	-	-	1,90	B
Пороговое напряжение, $T_j = 125^\circ\text{C}$, $I_T = 300 - 1000 \text{ A}$	$V_{(TO)}$	-	-	1,10	
Динамическое сопротивление, $T_j = 125^\circ\text{C}$, $I_T = 300 - 1000 \text{ A}$	r_T	-	-	1,50	мОм
Время задержки включения, $V = 0,5V_{DRM}$, $I_T = 200 \text{ A}$, $I_{FG} = 2 \text{ A}$, $t_r = 1 \text{ мкс}$, $T_j = 25^\circ\text{C}$	t_d	-	-	3,0	мкс
Время выключения, $I_T = 200 \text{ A}$, $di_T/dt = -5 \text{ A/мкс}$, $V_R \geq 100 \text{ В}$, $V_D = 0,67V_{DRM}$, $(dV_D/dt) = 50 \text{ В/мкс}$, $T_j = 125^\circ\text{C}$	t_q	-	120	-	
Заряд обратного восстановления, $di_T/dt = -5 \text{ A/мкс}$, $T_j = 125^\circ\text{C}$, $I_T = 200 \text{ A}$, $V_R \geq 100 \text{ В}$	Q_{rr}	-	-	300	мкКл
Ток удержания, $V_D = 12 \text{ В}$, $T_j = 25^\circ\text{C}$	I_H	-	-	300	mA
Ток включения, $V_D = 12 \text{ В}$, $t_P = 50 \text{ мкс}$, $T_j = 25^\circ\text{C}$	I_L	-	-	1500	B
Отпирающее постоянное напряжение управления, $V_D = 12 \text{ В}$,	V_{GT}	-	-	5,0 3,5 3,0	mA
$T_j = -60^\circ\text{C}$					
$T_j = 25^\circ\text{C}$					
$T_j = 125^\circ\text{C}$					
Отпирающий постоянный ток управления, $V_D = 12 \text{ В}$,	I_{GT}	-	-	400 200 150	B
$T_j = -60^\circ\text{C}$					
$T_j = 25^\circ\text{C}$					
$T_j = 125^\circ\text{C}$					
Неотпирающее постоянное напряжение управления, $V_D = 0,67V_{DRM}$, $T_j = 125^\circ\text{C}$	V_{GD}	0,25	-	-	B
Неотпирающий постоянный ток управления, $V_D = 0,67V_{DRM}$, $T_j = 125^\circ\text{C}$	I_{GD}	15	-	-	mA

ТЕПЛОВЫЕ ПАРАМЕТРЫ

Тепловое сопротивление переход - корпус, двустороннее охлаждение охлаждение со стороны анода охлаждение со стороны катода	R_{thjc} R_{thjc-A} R_{thjc-K}	-	-	0,08 0,16 0,16	°C/Вт
Тепловое сопротивление корпус - охладитель, двустороннее охлаждение одностороннее охлаждение	R_{thch}	-	-	0,02 0,04	

МЕХАНИЧЕСКИЕ ПАРАМЕТРЫ

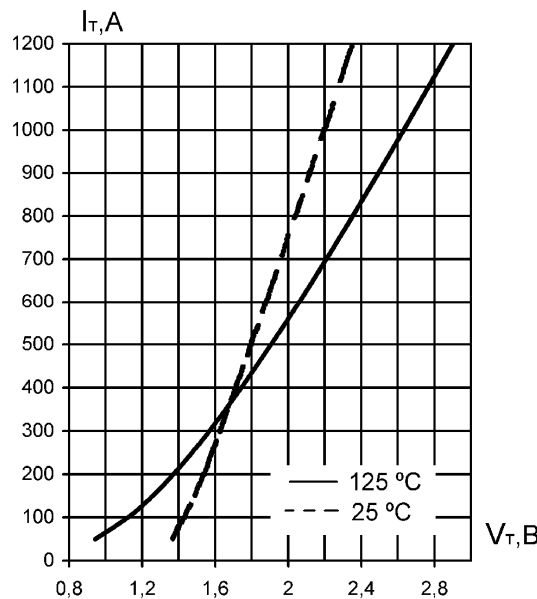
Масса	w	-	0,07	-	кг
Усилие сжатия	F	5	-	7	кН
Максимально допустимое постоянное ускорение (в сжатом состоянии)	a	-	-	100	м/с^2
Расстояние по поверхности изолятора от управляемого электрода до анода	D_s	-	9,2	-	мм
Кратчайшее расстояние от управляемого электрода до анода	Da	-	5,5	-	

ПРОЧИЕ ПАРАМЕТРЫ

Климатическое исполнение по ГОСТ 15150	УХЛ2, Т2
--	----------



T123-200



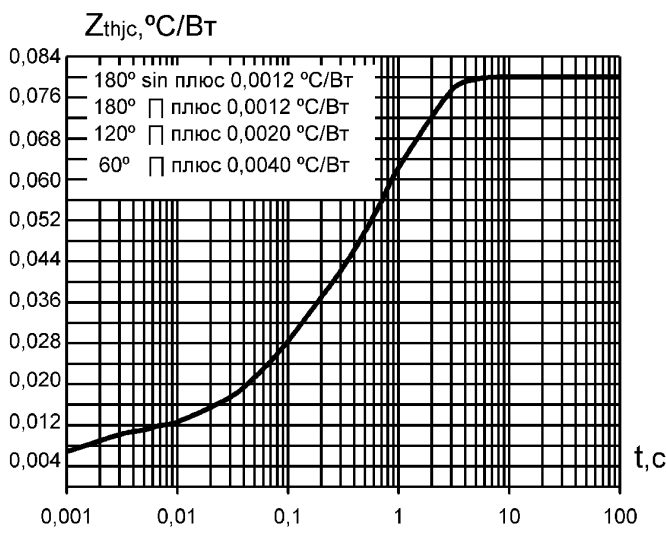
Уравнение вольт-амперной характеристики
в открытом состоянии

$$V_T = A + B \cdot I_T + C \cdot \ln(I_T + 1) + D \cdot \sqrt{I_T}$$

Справедливо для $I_T = 50 - 1200$ А

	$T_j = 125$ °C	$T_j = 25$ °C
A	0.252	1.116
B	0.001069	0.0007781
C	0.144	0.058
D	0.01	-0.00311

Рис. 1. Предельные вольт-амперные характеристики
в открытом состоянии



Аналитическая зависимость переходного теплового сопротивления переход-корпус

$$Z_{thjc} = \sum_{i=1}^n R_i (1 - e^{-t/\tau_i})$$

i	1	2	3	4
R _i , °C/W	0,00979	0,01742	0,01652	0,03627
τ _i , s	0,0009	0,0736	0,5716	1,1165

Рис. 2. Переходное тепловое сопротивление
переход-корпус (постоянный ток)



T123-200

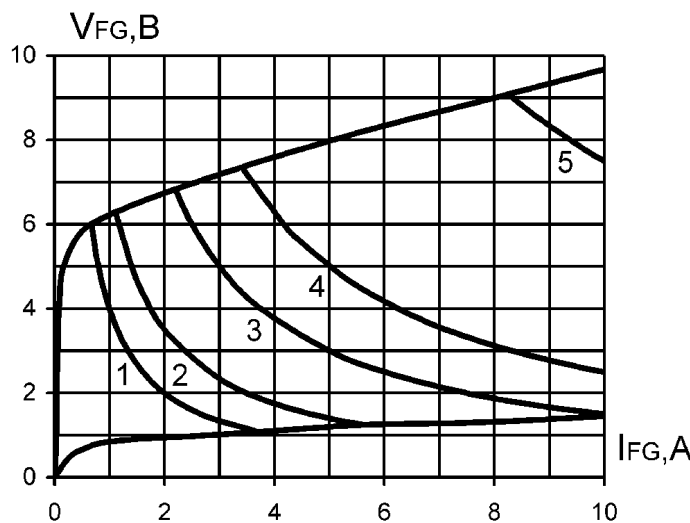


Рис. 3. Предельные характеристики цепи управления

Позиция на рисунке 3	Скважность	Длительность импульса тока управления, t_p , мс	Допустимая импульсная мощность управления, P_{GM} , Вт
1	1	Постоянный ток	4
2	2	10	7
3	20	1,0	15
4	40	0,5	25
5	200	0,1	75

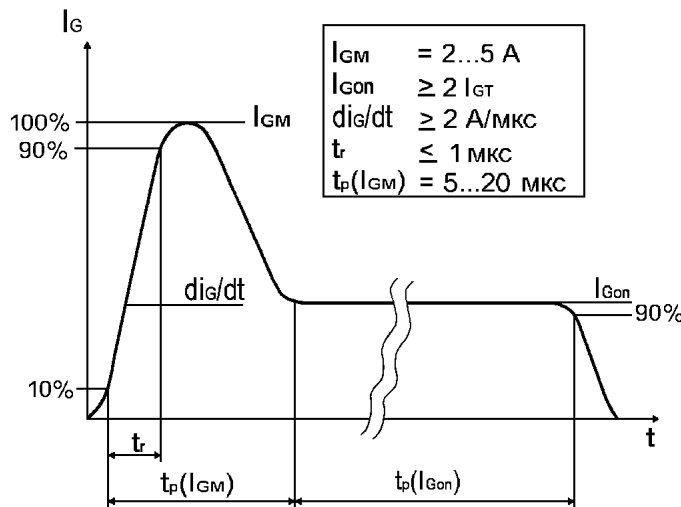


Рис. 4. Рекомендуемая форма импульса тока управления

$t_p(I_{Gon})$ - определяется характеристиками тиристора и режимом работы преобразователя



T123-200

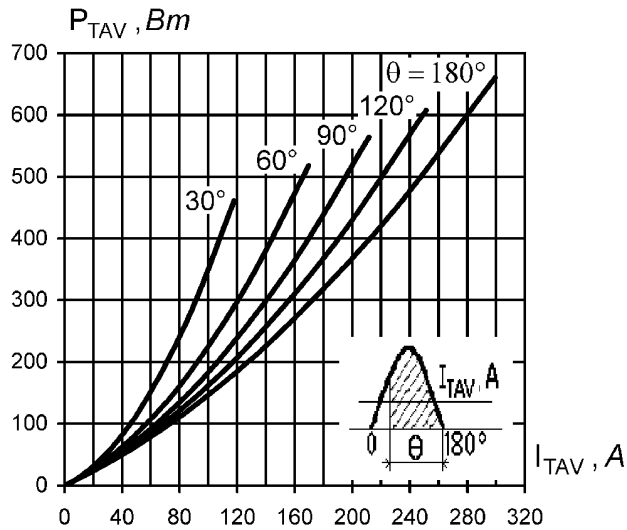


Рис. 5. Мощность потерь в открытом состоянии
(однополупериодный синусоидальный импульс)

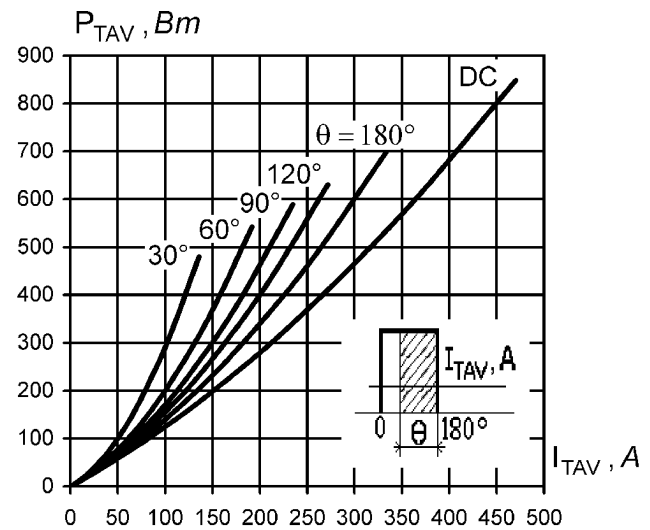


Рис. 6. Мощность потерь в открытом состоянии
(прямоугольный импульс)

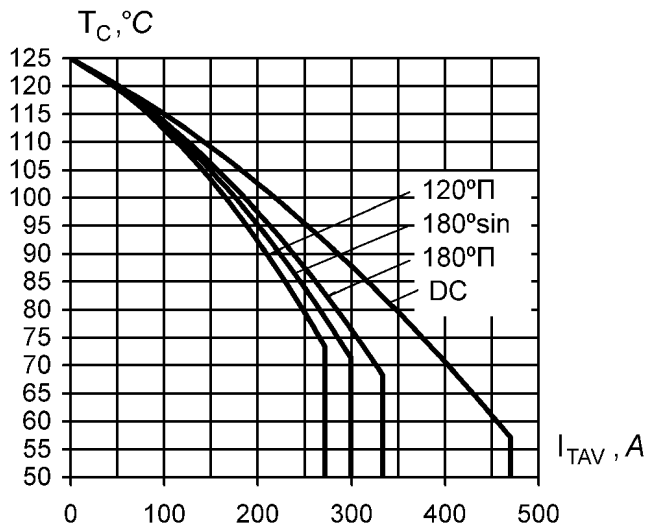


Рис. 7. Максимально допустимая температура корпуса при различных углах управления и различных формах тока

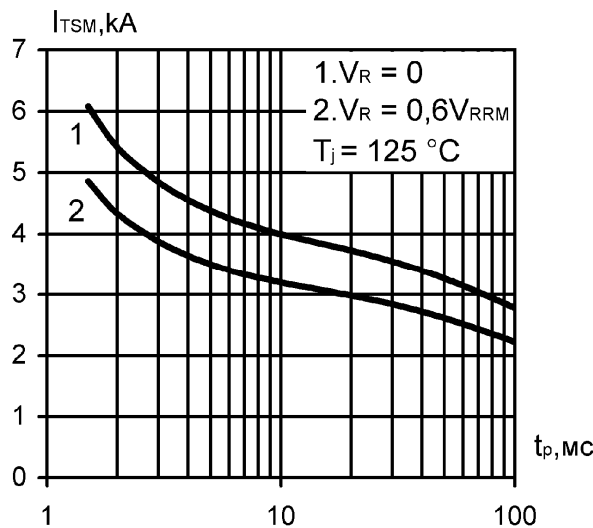
**T123-200**

Рис. 8. Зависимость допустимой амплитуды ударного тока от длительности импульса (полусинусоида)

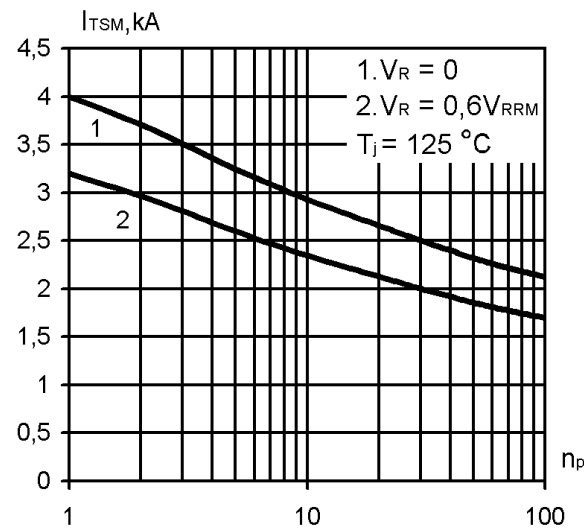


Рис. 9. Зависимость допустимой амплитуды ударного тока от числа импульсов синусоидальной формы (10 мс, 50 Гц)

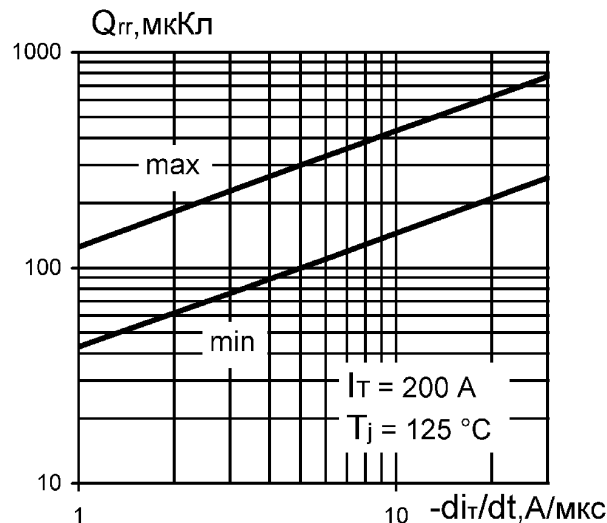


Рис. 10. Зависимость заряда обратного восстановления от скорости спада тока

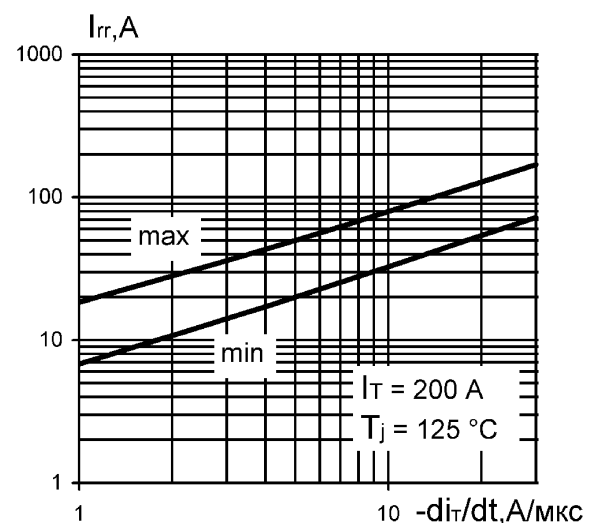
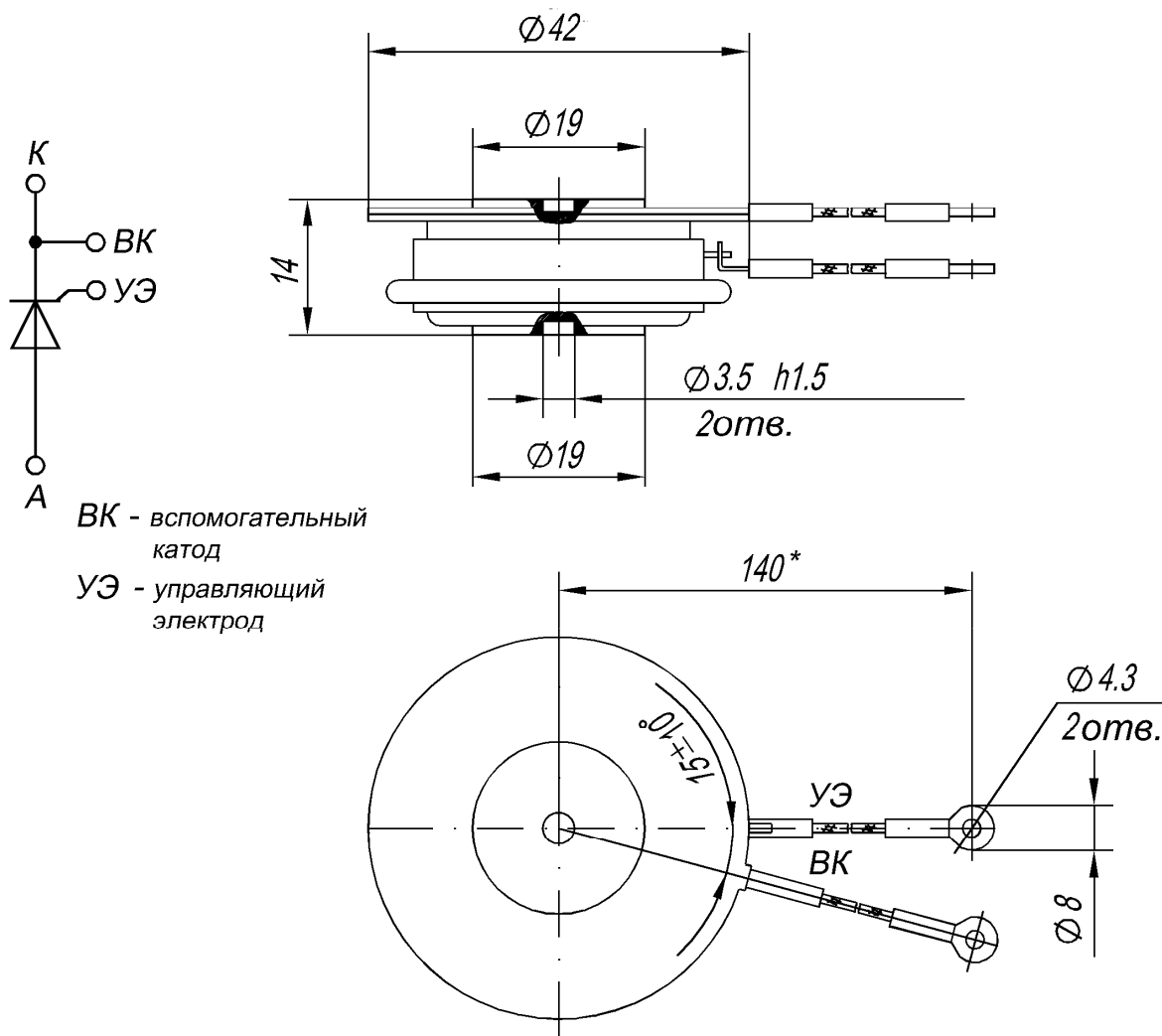


Рис. 11. Зависимость тока обратного восстановления от скорости спада тока



T123-200



* допускается другая длина выводов УЭ и ВК по требованию потребителей

Рис. 12. Габаритные и установочные размеры

Россия, Мордовия, Саранск,

430001, ул. Пролетарская, 126

Тел. +7 (8342) 47-18-31, 47-48-15, 47-55-22 (сбыт)

29-68-36, 29-69-49 (техническая поддержка)

Факс: +7 (8342) 47-16-64 (сбыт), 48-07-33 (техническая поддержка)

E-mail: support-nicpp@saransk-com.ru, martin@moris.ru (техническая поддержка)

sales_spp@elvpr.ru, spp@elvpr.ru (сбыт)

Internet: <http://www.elvpr.ru/>, <http://www.moris.ru/~martin/>